

# ستنر نانو کامپوزیت مغناطیسی ( $MnFe_2O_4@SiO_2@NH_2$ ) و اتصال آن با نانولوله‌های کربنی چند دیواره آسیل دار شده و شناسایی آن

رامین قهرمان زاده

پژوهشکده نانویوتکنولوژی - پژوهشگاه فناوری های نوین علوم زیستی جهاد دانشگاهی این سینا (ACECR) - تهران - ایران

مهران امیدوار، نجمه یزدانفر\*

پژوهشکده توسعه صنایع شیمیابی جهاد دانشگاهی (ACECR)، البرز، ایران

**چکیده:** در این پژوهش، نانوذردهای فریت منگتر ابر پارامغناطیسی با استفاده از روش هم رسویی ستنر و برای جلوگیری از اکسایش و افزایش گروههای عاملی  $OH$  بر روی سطح، نانوذردهای با ترا اورتو سیلیکات واکنش داده و پوشش سیلیکایی ایجاد شد. به منظور برقراری اتصال شیمیابی در واکنش‌های بعدی، سطح نانوذردها به وسیله ۳-آمینو پروپیل تری متوكسی سیلان (APTMS) پوشانده و عامل دار شد. همچنین نانولوله‌های کربنی چند دیواره با قطر ۸ نانومتر خردیداری و برای بالابردن ظرفیت واکنش پذیری با  $HNO_3$  و سپس تیونیل کلرید وارد و واکنش شده و عامل دار شد. سرانجام نانوذردهای مغناطیسی فریت منگتر دارای گروه عاملی آمینی با نانولوله‌های کربنی آسیل دار شده وارد واکنش شده و ستنر شدند. نانوذردهای ستنر شده با استفاده از طیف سنجی تبدیل فوریه فرسرخ (FT-IR)، میکروسکوپ الکترونی روبشی (SEM)، میکروسکوپ الکترونی عبوری (TEM)، مغناطیس سنج نمونه مرتعش (VSM)، پراش پرتوایکس (XRD) و طیف سنجی رامان (RAMAN) شناسایی و ویژگی‌های آن‌ها مورد بررسی قرار گرفت.

**واژه‌های کلیدی:** نانولوله‌های کربنی چند دیواره؛ نانوذردهای مغناطیسی؛ نانو کامپوزیت؛ نانوذردهای فریت منگتر ابر پارامغناطیسی.

**KEYWORDS:** Multiwall carbon nanotubes; Magnetic nanoparticles; paramagnetic Manganese ferrite nanoparticles; nanocomposite

## مقدمه

در یک محلول، با استفاده از میدان مغناطیسی بیرونی قوی بازیابی شوند [۱، ۲]. فریتهای اسپینلی با فرمول کلی  $AFe_2O_4$  ( $A=Mn, Co, Ni, Mg, Zn$ ) مواد مغناطیسی بسیار مهمی هستند، که دارای خواص ویژه‌ای از جمله گوناگون و ویژگی‌های کتریکی مناسب، پایداری در دماهای مرتفع و ایجاد اثراتی مغناطیسی بالا، ویژگی‌های کتریکی مناسب، پایداری در دماهای گوناگون و ویژگی‌های شیمیابی هستند [۳]. دمای کوری<sup>۱</sup> آن‌ها در حدود ۴۷۵-۴۲۰ درجه سلسیوس است و افزون بر آن وادارندگی آن‌ها

در سال‌های اخیر، استفاده از انواع جاذب‌ها برای حذف و اندازه‌گیری آلاینده‌ها از ماتریکس‌های گوناگون بسیار مورد توجه قرار گرفته و یکی از مسئله‌های مهم، جداسازی این فاز جامد از حلال‌های گوناگون می‌باشد. نانوذردهای مغناطیسی از جمله جاذب‌های مناسبی هستند که به علت ویژگی‌های یگانه‌ای مانند نیاز نداشتن به مرحله‌های صاف کردن و سانتریفیوژ کردن در طی فرایند استخراج می‌توانند پس از پخش شدن

\*E-mail: nyazdanfar@gmail.com

\*\* عهده‌دار مکاتب

(۱) Curie Point

آسان و کامل این مواد از فاز مایع می‌تواند نانوذرهای مغناطیسی فریت منگنز را به موادی جالب تبدیل کند. درنتیجه در این پژوهش سعی شده است (این نانوذرهای سنتز شدن و در ادامه بدون از دست دادن ویژگی‌های خود، در موردهای گوناگون، ویژگی‌ها آن‌ها را مورد بررسی قرار گرفت و امکان بازیافت سریع و آسان این مواد از محلول‌های گوناگون فراهم شد).

نانولولهای کربنی (CNTs) دارای ساختاری ایده‌آل هستند که توسط اتم‌های کربن با یک بعد تشکیل شده‌اند [۲۵]. آن‌ها لوله‌های یکپارچه از ورق‌های گرافیت با قطر نانو هستند. نانولولهای کربنی چند دیواره و تک دیواره مهم ترین نوع از نانولولهای کربنی هستند. پژوهش‌ها نشان داده که نانولولهای کربنی چند دیواره به طرز چشمگیری قوی‌تر از نانولولهای کربنی تک دیواره هستند. با توجه به ساختار دقیق آن‌ها، نانولولهای کربنی می‌توانند هادی‌های فلزی یا نیمه هادی باشند. نانولولهای کربنی استحکام بسیار بالای دارند، ۱۰۰ برابر بیشتر از فولاد، گرچه وزنشان تنها یک ششم فولاد است [۲۶]. افزون بر این، نانولولهای کربنی دارای ظرفیت الاستیک کششی ۱۲٪ هستند که ۶۰ برابر بیشتر از فولاد است [۲۷].

نانولولهای کربنی چند دیواره (MWCNTs)، گروه‌های مهمی از نانومواد هستند که دارای ویژگی‌هایی مانند خواص الکترونیک غنی، پایداری گرمایی عالی، مساحت سطح بالا، مقاومت مکانیکی بالا و وزن بسیار کم هستند [۲۸، ۲۹]. ویژگی‌های الکتریکی و شیمیایی یگانه CNT‌ها، برای پژوهشگران جهان در بسیاری از زمینه‌ها بسیار هیجان‌انگیز است [۳۰-۳۲].

ویژگی‌های چشمگیر مانند افزایش ویژگی‌های ترکیب‌های پلیمری [۳۳]، ذخیره سازی انرژی [۳۴]، پشتیبانی کاتالیست‌ها در کاتالیست‌های ناهمگن [۳۵، ۳۶]، حسگر [۳۷]، حسگر [۳۸]، فرستندهای میدان [۳۹] و غیره، ما را ترغیب کرد تا در این مطالعه این مواد را سنتز و شناسایی نماییم. جداره‌بی‌رونی نانولولهای خام از نظر شیمیایی خنثی است که برای کاربردهای نانولوله‌ها دلخواه نیست. یکی از روش‌های چیره شدن بر این مشکل عامل دار کردن نانولولهای کربنی است. عامل دار کردن نانولولهای کربنی باعث گسترش کاربردهای نانولوله‌ها در زمینه‌های گوناگون و بهبود ویژگی‌های آن‌ها می‌شود [۳۹]. طی عامل دار کردن، نانولوله‌ها با اسیدها و گروه‌های عاملی اکسیژن دار به سطح نانولولهای کربنی متصل می‌شوند که روی سطح نانولوله‌ها بارهای منفی ایجاد می‌کنند و باعث پایداری سوپرانسیون نانولوله‌ها در حللاه می‌شوند [۴۰]. فو و همکاران برای عامل دار کردن نانولولهای کربنی از روش "پیوند به"

با افزایش دما نه تنها کم نمی‌شود بلکه افزایش می‌یابد. از همین رو در واکنش‌هایی که نیاز به دمای بالا می‌باشد، می‌توان از آن‌ها استفاده کرد. نانوذرهای اکسید فلزی، به خصوص نانوذرهای مغناطیسی به دلیل ویژگی‌های شگفت‌انگیزی مانند پایداری خوب، مساحت سطح بالا، ویژگی‌های چشمگیر پارامغناطیسی، سمیت کم و آماده سازی آسان، به عنوان یک نوع عالی از کاتالیست‌ها به شمار می‌روند [۴]. کاتالیست‌های همگن حلایلت خوبی در محیط واکنش دارند و همین خاصیت باعث افزایش دسترسی کاتالیستی به زیرلایه‌ها می‌شود، در نتیجه در مقایسه با همتایان ناهمگن خود، فعالیت کاتالیستی بالاتری را نشان می‌دهند [۴، ۵]. با این حال، بازیافت کاتالیست‌های همگن بیشتر سخت و وقت‌گیر است. بنابراین بهتر است که کاتالیست‌های همگن را برای فرایندهای صنعتی به کاتالیست‌های ناهمگن تبدیل کنیم [۷]، زیرا کاتالیست‌های ناهمگن برتری‌های زیادی مانند پایداری (نسبت به هوا و رطوبت)، نبود خوردگی، سادگی استفاده، بازیابی و بازسازی را دارا هستند [۸، ۹].

نانوذرهای مغناطیسی با استفاده از روش‌های متفاوتی سنتز می‌شوند که معروف‌ترین آن‌ها سنتز به روش همروسوبی می‌باشد. روش همروسوبی ساده‌ترین و کارآمدترین روش شیمیایی برای سنتز نانوذرهای مغناطیسی (اکسیدهای فلزی و فریت‌ها) است. برتری اصلی روش همروسوبی، توانایی آن در سنتز حجم زیادی از نانوذرهای است، ولی برای کنترل توزیع اندازه ذره‌ها در این روش، لازم است فاکتورهای سینتیکی رشد ذره‌ها کنترل شود.

فرایند همروسوبی شامل دو مرحله است: زمانی که غلظت گونه‌ها به یک حد فوق اشباع می‌رسد مقدار کمی هسته‌زایی رخ می‌دهد و سپس رشد تدریجی هسته‌ها (با نفوذ حل شونده‌ها بر روی سطح ذره‌ها) صورت می‌پذیرد [۱۰].

به تازگی، پژوهش‌هایی زیادی بر روی نانوذرهای مغناطیسی انجام شده است زیرا این مواد دارای ویژگی‌های جذاب هستند که از این ویژگی‌ها می‌توان به استفاده در کاتالیست‌ها که شامل نانو مواد کاتالیستی [۱۱]، پژوهش‌های زیست پزشکی [۱۲] و هدف قرار دادن بافت خاص [۱۳]، کربیستال‌های فوتونی کلوئیدی مغناطیسی موزون [۱۴]، میکروسیال‌ها [۱۵]، تصویربرداری رزونانس مغناطیسی [۱۶]، تصویربرداری ذره‌های مغناطیسی [۱۷]، ذخیره‌سازی داده‌ها [۱۸، ۱۹]، بازسازی محیط زیست [۲۰]، نانوسیال‌ها [۲۱]، صافی‌های نوری [۲۲]، نقص حسگر [۲۳]، و حسگرهای کاتیونی [۲۴] می‌شود اشاره کرد. از دست ندادن ویژگی‌های کاتالیستی و امکان بازیافت سریع،

مخلوط به دست آمده تحت گاز آرگون در دمای  $95^{\circ}\text{C}$  به مدت ۲ ساعت توسط همزن مکانیکی همزدید شد. سپس مخلوط واکنش تا دمای اتانق سرد شد و رسوب سیاهرنگ با استفاده از یک آهنربای قوی جداسازی و چندین بار با آب یون زدایی شده شستشو داده شد. رسوب به دست آمده به مدت  $12$  ساعت در دمای  $60^{\circ}\text{C}$  قرار داده شد و خشک شد.

#### ب) سیلیکا دار کردن نانوذرهای فریت منگنز

بدین منظور نخست در یک بالن ته‌گرد مقدار  $5/0.0$  گرم از نانوذرهای مغناطیسی منگنز فریت در  $100$  میلی لیتر مخلوط آب و اتانول با نسبت حجمی  $1:4$  اضافه شد. نانوذرهای با استفاده از یک آهنربای قوی حمام فراصوت به طور کامل پخش شدند، در ادامه بالن برروی همزن مغناطیسی قرار داده شد و  $5$  میلی لیتر آمونیم هیدروکسید  $25$  درصد و  $150$  میکرولیتر تترا اتیل ارتوسیلیکات قطره قطره به بالن افزوده شد. مخلوط به دست آمده به مدت  $6$  ساعت در دمای اتانق توسط همزن مکانیکی همزدید شد. نانوذرهای مغناطیسی منگنز فریت عامل دار شده با سیلیکا با استفاده از یک آهنربای قوی جداسازی و چندین بار با آب دیوینیزه شستشو داده شدند. نانوذرهای به دست آمده به مدت  $12$  ساعت تحت دمای  $60^{\circ}\text{C}$  قرار داده شده و خشک شد.

#### ج) آمین دار کردن نانوذرهای منگنز فریت سیلیکا دار شده

در این پژوهش به منظور ایجاد گروههای آمین برروی سطح نانوذرهای مغناطیسی، فریت منگنز سیلیکا دار شده آن با  $3\text{-}N$ -آمینوپروپیل تری متوكسی سیلان در حلال آب و اتانول در دمای  $40^{\circ}\text{C}$ ، وارد واکنش شد. نخست در یک بالن مقدار  $5/0.0$  گرم از نانوذرهای مغناطیسی پوشش داده شده توسط سیلیکا ریخته شد و به آن  $50$  میلی لیتر مخلوط آب: اتانول با نسبت حجمی  $1:1$  افزوده شد. مخلوط به دست آمده تحت تأثیر امواج فراصوت تولید شده توسط فراصوت به مدت  $30$  دقیقه قرار داده شد تا ذرهای مغناطیسی به طور کامل پخش شوند. سپس  $11/0.0$  مول  $3\text{-}N$ -آمینوپروپیل تری متوكسی سیلان حل شده در یک میلی لیتر اتانول قطره قطره به محتويات بالن افزوده شد (برای انجام صحیح واکنش و اجتناب از هیدرولیز شدن تری متوكسی سیلان، باید از اسیدی یا بازی شدن محیط اجتناب شود). مخلوط به دست آمده به مدت  $24$  ساعت در دمای  $40^{\circ}\text{C}$  بر روی همزن مغناطیسی قرار داده شد. سرانجام نانوذرهای مغناطیسی به دست آمده با استفاده از یک

استفاده کردند. آن‌ها گروههای کربوکسیلیک روی نانولوله‌ها را با تیونیل کلرید و استفاده از بازروانی به آسیل کلرید تبدیل کردند [۴۱]. در این پژوهش، برای افزایش پایداری و آماده کردن نانولوله‌های کربنی برای واکنش‌های بعدی، سطح آن‌ها با استفاده از گروههای عاملی گوناگون اصلاح شد. از طرف دیگر، نانوذرهای مغناطیسی فریت منگنز برای افزایش پایداری و همچنین افزایش گروههای عاملی برای ستنتر با نانولوله‌های کربنی چند دیواره، نخست سیلیکا دار و در ادامه آمین دار شدند. در مرحله آخر با توجه به ستنتر موفقیت‌آمیز نانولوله‌های کربنی با نانوذرهای مغناطیسی ویژگی‌های گوناگون آن‌ها را بررسی کردیم.

### بخش تجربی

#### مواد شیمیایی و دستگاه‌های مورد استفاده

همه مواد شیمیایی مورد استفاده در این پژوهش از شرکت مرک و سیگما آلدربیچ تهیه شدند. همچنین نانولوله‌های کربنی چند دیواره با قطر  $8$  نانومتر و درصد خلوص  $98$  درصد از شرکت نوتربینو (ایران) خردباری شدند. طیف FT-IR JASCO FT-IR-410 به وسیله طیفسنج Nicolet FT-IR 400 به صورت قرص KBr گرفته شد. اندازه و پراکندگی نانوذرهای مغناطیسی فریت منگنز با استفاده از میکروسکوپ الکترونی عبوری (SEM) KYKY EM-3200 تعیین شد. تعیین ستنتر نانولوله‌های کربنی بر روی نانوذرهای با استفاده از دستگاه رامان مدل Rigaku (1064nm) موردنرسی قرار گرفت. برای اندازه‌گیری میزان ویژگی‌های مغناطیسی از دستگاه VSM ساخت شرکت مغناطیس کوپر استفاده شد. الگوی پراش پرتو ایکس (XRD) مواد ستنتر شده با استفاده از دستگاه Philips Xpert X-ray اندازه‌گیری شد. اندازه نانوذرهای ستنتر شده نیز با استفاده از دستگاه Philips EM 208 میکروسکوپ الکترونی عبوری (TEM) مدل ۲۰۸ اندازه‌گیری شد.

#### ستنتر $MnFe_2O_4@SiO_2@NH_2$

(الف) ستنتر نانوذرهای مغناطیسی  $MnFe_2O_4$   
نانوذرهای  $MnFe_2O_4$  با استفاده از ستور کار استاندارد گزارش شده توسط روش هم‌رسوبی (Co-precipitation) به وسیله  $\text{MnCl}_2$  چهار آبه و  $\text{FeCl}_3$  شش آبه در آب و در حضور سدیم هیدروکسید تهیه شد [۴۲].  $50$  میلی لیتر محلول  $0/3$  مولار از نمک‌های آهن (III) کلرید شش آبه و منگنز (II) کلرید چهار آبه با نسبت مولی  $1:2$  تهیه و قطره قطره به بالن محتوى  $50$  میلی لیتر سود  $3$  مولار افزوده شد.

توزین شده و به آن افزوده شد. سپس به مدت ۲۴ ساعت روی همزن مغناطیسی قرارداده شد. پس از ۲۶ ساعت بالن دارای آن را تخلیه کرده و مواد را درون یک لوله آزمایش ریخته و طی سه مرحله با اتانول شستشو داده شد. برای جداسازی نانوذرهای مغناطیسی از حلال، آهن ربا را به سطح بیرونی لوله آزمایش نزدیک شد تا نانوذرهای دلیل ویژگی مغناطیسی به آهن ربا نزدیک شوند و اکسیدهای فلزی به آهن ربا بچسبند در این حالت می‌توان حلال را به وسیله پیست جدا نمود. سپس نانوذرهای آماده شده به مدت ۲ روز در آون با دمای  $50^{\circ}\text{C}$  درجه خشک شد.

ب) ستز نانولوله‌های کربنی با نانوذرهای مغناطیسی فریت منگنز با نسبت وزنی یک به دو در این مرحله مطابق مرحله پیش آزمایش انجام می‌شود. به این منظور نانولوله‌های کربنی آسیل در و هم فریت منگنز آمین دار ساییده شده تا به طور کامل پودر شوند. سپس مقدار  $0/23$  گرم فریت منگنز در یک بالن ریخته و  $100$  میلی لیتر اتانول به آن افزوده شد. خروجی‌های بالن بسته شده و درون حمام فراصوت قرار داده شد تا مدت  $30$  دقیقه در دمای محیط سونیکیت شود. در مرحله اول، با توجه به جدا شدن کامل نانوذرهای حلال با استفاده از میدان مغناطیسی، در مرحله بعد با استفاده از دوبرابر کردن مقدار نانولوله‌های کربنی نسبت به منگنز فریت آزمایش را انجام دادیم. به همین منظور مقدار  $0/46$  گرم نانولوله کربنی آسیل در وزن شده و به آن افزوده شد و یک مگنت به آن افزوده شد و به مدت  $24$  ساعت روی همزن مغناطیسی گذاشته شد تا هم بخورد. پس از  $24$  ساعت بالن دارای مواد را متوقف کرده و به مدت  $10$  دقیقه اجازه داده شد تا محتويات بالن ساکن بماند تا نانوذرهای نشین شوند و سپس با استفاده از آهن ربا نانوذرهای حلال جدا شدند و نانوذرهای درون یک لوله آزمایش ریخته شد و سه مرحله با اتانول شسته شد. سپس یک آهن ربا برای جداسازی نانوذرهای مغناطیسی از حلال، به سطح بیرونی لوله آزمایش چسبانده شد تا نانوذرهای دلیل ویژگی مغناطیسی به آهن ربا نزدیک شوند و اکسیدهای فلزی به آهن ربا بچسبند و سپس همه حلال آن خالی شد. در این مرحله نیز همانند مرحله پیش همه نانوذرهای نیترویی مغناطیسی خارجی به دیواره لوله آزمایش چسبید و این نانوذرهای به سادگی از حلال جدا شد. سپس به مدت  $2$  روز در آون با دمای  $50^{\circ}\text{C}$  خشک شد.

## نتیجه‌ها و بحث

آماده سازی  $\text{MnFe}_2\text{O}_4 @ \text{SiO}_2 @ \text{NH}_2$  در شمای ۱ نشان داده شده است. در این پژوهش نخست نانوذرهای پارا مغناطیسی منگنز فریت

آهن ربا جداسازی و چندین بار با آب دیونیزه و اتانول شستشو داده شد. رسوب به دست آمده به مدت  $12$  ساعت در دمای  $60^{\circ}\text{C}$  قرار داده شد تا خشک شد [۴۳، ۴۲].

## تبیه نانولوله‌های کربنی چند دیواره‌ی آسیل دار شده

الف) کربوکسیل دار کردن نانولوله‌های کربنی چند دیواره نخست نانولوله‌های کربنی چند دیواره، به مدت  $40$  دقیقه در دمای  $400^{\circ}\text{C}$  در کوره گرما داده شدند تا کربن بی‌شكل آن‌ها جدا شود. سپس، عمل بازروانی به مدت  $4$  ساعت در دمای  $100^{\circ}\text{C}$  با حضور نیتریک اسید غلیظ انجام شد. در نتیجه نانولوله‌های کربنی اکسید و سرهای بسته‌ی آن‌ها باز می‌شدند. به این وسیله، سطح ویژه‌ی نانولوله‌ها افزایش یافته و قدرت آن‌ها برای جذب مواد، افزایش یافت. نیتریک اسید اضافی با مقدار کافی آب مقطر از سطح نانولوله‌ها شسته و پس از آن، نانولوله‌ها در آون به مدت  $4$  ساعت در دمای  $70^{\circ}\text{C}$  خشک و در ظرف‌های دربسته نگه داری شدند.

ب) تبدیل نانولوله‌های کربنی چند دیواره دارای کربوکسیلیک اسید به مشتق آسیل آن (آسیل دار کردن نانولوله‌های کربنی) نخست  $0/56$  از نانولوله‌های کربنی چند دیواره دارای گروه کربوکسیلیک اسید درون یک بالن سه دهانه ریخته شد و روی هیتر درون حمام پارافین قرار داده شد و سپس  $20$  میلی لیتر تیونیل کلرید را به صورت قطره قطره به آن افزوده شد پس از مدتی و افزوده شدن کامل  $\text{SOCl}_2$  به  $\text{COOH} @ \text{MWCNTs}$  در حضور گاز  $\text{N}_2$  عمل بازروانی را به مدت  $2$  ساعت انجام گرفت. پس از پایان یافتن عمل بازروانی، محتوی بالن را به وسیله کاغذ صافی نانو و سامانه خلا صاف شده و محتويات روی صافی با ترا هیدرو فوران (THF) شستشو داده شد و سرانجام رسوب به دست آمده در درون دسیکاتور قرار داده شد تا خشک شود.

## ستز نانولوله‌های کربنی عامل دار شده با $\text{NH}_2$

الف) اتصال نانولوله‌های کربنی با نانوذرهای مغناطیسی فریت منگنز آمین دار به مدت  $10$  دقیقه نانوذرهای مغناطیسی فریت منگنز آمین دار به دست آمده به نانولوله‌های کربنی با واکنش زیر متصل شدند. نانولوله‌های کربنی و فریت منگنز آمین دار ساییده شد تا به طور کامل پودر شدند. سپس مقدار  $0/23$  گرم فریت منگنز آمین دار در یک بالن ریخته شد و  $100$  میلی لیتر اتانول به آن افزوده شد. خروجی‌های بالن بسته شده و درون حمام فراصوت قرار داده شد تا مدت  $30$  دقیقه در دمای محیط خوب پخش شود. سپس  $0/23$  گرم نانولوله کربنی آسیل دار

طیف‌های FT-IR Mn<sub>2</sub>O<sub>4</sub>@SiO<sub>2</sub> MnFe<sub>2</sub>O<sub>4</sub> در شکل ۳ نشان داده شده‌اند. همان‌گونه که در شکل ۳ دیده می‌شود پیک ظاهر شده در عدد موجی  $cm^{-1}$  ۵۸۲ ارتعاش کششی O-Fe-O را به روشنی نشان می‌دهد، پیک‌های دیده شده در اعداد موجی  $cm^{-1}$  ۳۴۱۳ و ۱۶۲۹ مربوط به ارتعاش‌های کششی پیوند O-H می‌باشد [۵۰] (شکل ۳-a). ارتعاش‌های کششی پیوند Si-O نیز در عدد موجی  $cm^{-1}$  ۱۰۵۱ اخترасاص یافت که پیوند O-H هم‌پوشانی کرده است. همچنین پیک دیده شده در عدد موجی  $cm^{-1}$  ۳۴۰۰ در عدد موجی  $cm^{-1}$  ۳۴۱۳ ارتعاش‌های کششی گروه NH<sub>2</sub> نیز می‌باشد [۵۱] (شکل ۳-b). ارتعاش‌های کششی گروه گروه CH<sub>2</sub> در عدد موجی  $cm^{-1}$  ۲۹۲۶ مربوط به ارتعاش‌های کششی گروه‌های CH<sub>2</sub> می‌باشد (شکل ۳-c).

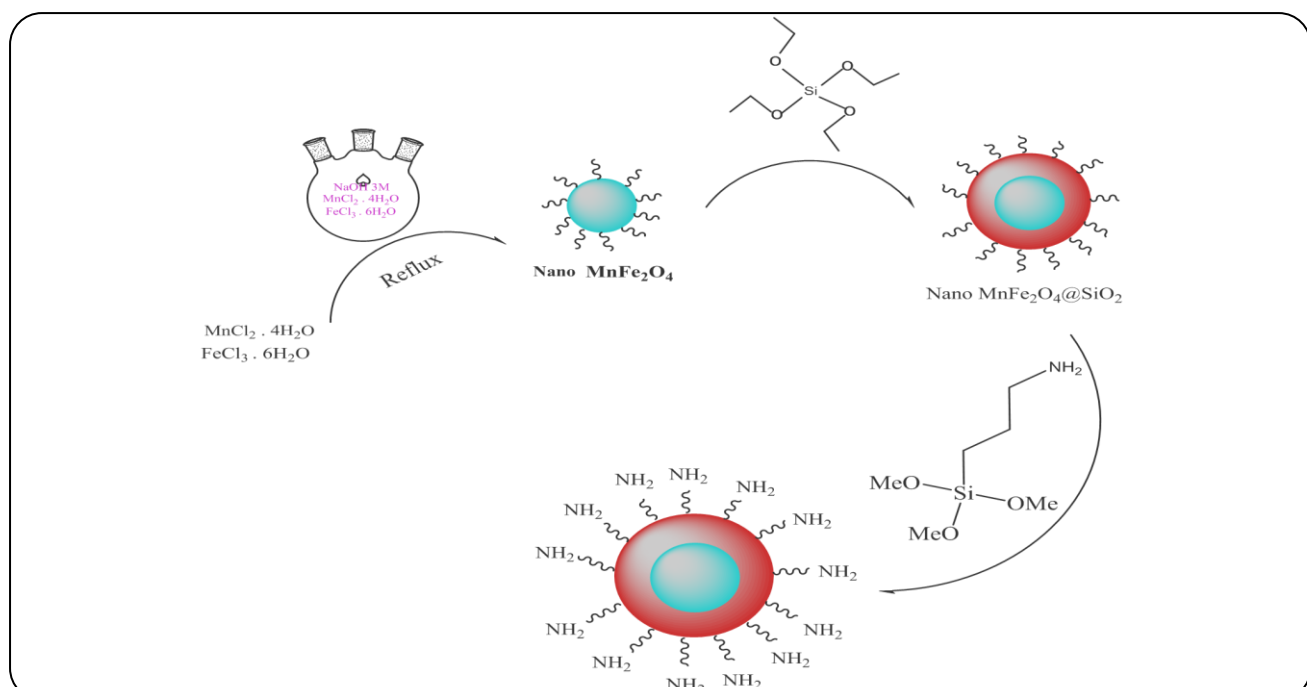
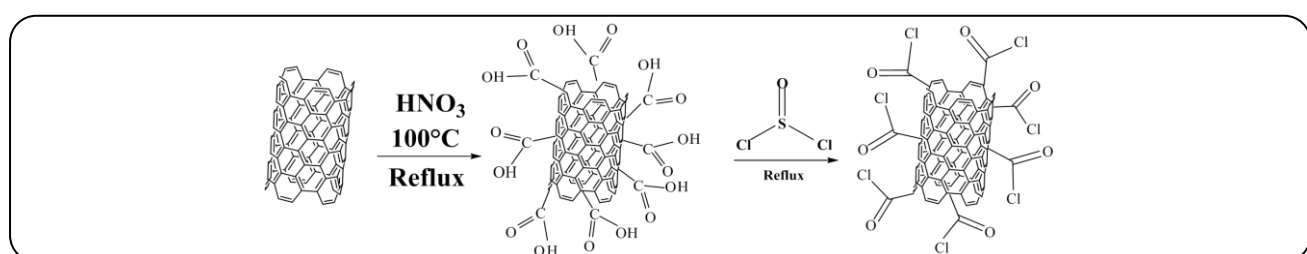
هم چنین مقایسه دو طیف FT-IR نمونه‌های سنتز شده نانوذره‌های مغناطیسی با نانولوله‌های کربنی با نسبت‌های یک به یک (a) و یک به دو (b) در شکل ۴ آورده شده است. پیک دیده شده در عدد موجی  $cm^{-1}$  ۵۸۲ مربوط به ارتعاش کششی پیوند Fe-O می‌باشد. پیک دیده شده در  $cm^{-1}$  ۱۳۹۹ مربوط به پیوند C-C کششی حلقه‌ی آروماتیک در نانولوله‌های کربنی چند دیواره می‌باشد. همچنین پیکی در بازه‌ی  $cm^{-1}$  ۱۷۳۲ دیده می‌شود که این پیک نشان دهنده گروه کربونیل در نانولوله‌های کربنی می‌باشد. همچنین پیک دیده شده در عدد موجی  $cm^{-1}$  ۱۶۱۰ مربوط به ارتعاش‌های کششی C=C- است و کربن‌های مزدوج که مربوط به جداره‌ی نانولوله‌های کربنی چند دیواره است. دو پیک ظاهر شده در  $cm^{-1}$  ۲۹۱۴ و ۲۸۴۱ مربوط به ارتعاش‌های گروه‌های CH<sub>3</sub> و CH<sub>2</sub> هستند. ارتعاش‌های کششی گروه NH<sub>2</sub> نیز در عدد موجی  $cm^{-1}$  ۳۴۴۰ ظاهر شده است که با ارتعاش‌های کششی پیوند O-H هم‌پوشانی کرده است.

شکل ۵ طیف رaman نانوذره‌های سنتز شده با نانولوله‌های کربنی را نشان می‌دهد. در بازه‌ی زیر ۵۰۰ چند پیک دیده می‌شود که مربوط به کاتالیزگر Fe هستند. در بازه  $cm^{-1}$  ۱۳۰۰-۱۴۰۰ ما چند پیک دیده می‌شود که تیزترین پیک که به تقریب در نزدیکی ۱۳۰۰ ظاهر شده است پیک D است. می‌توان این پیک را به حضور کربن SP<sup>3</sup> در ساختار نانولوله کربنی نسبت داد. پس این ارتعاش مربوط به نقص ساختاری نانولوله می‌باشد. در نزدیکی ۱۶۰۰ پیک G دیده می‌شود، این پیک ناشی از ارتعاش‌های کششی C=C در محور نانولوله‌های کربنی است.

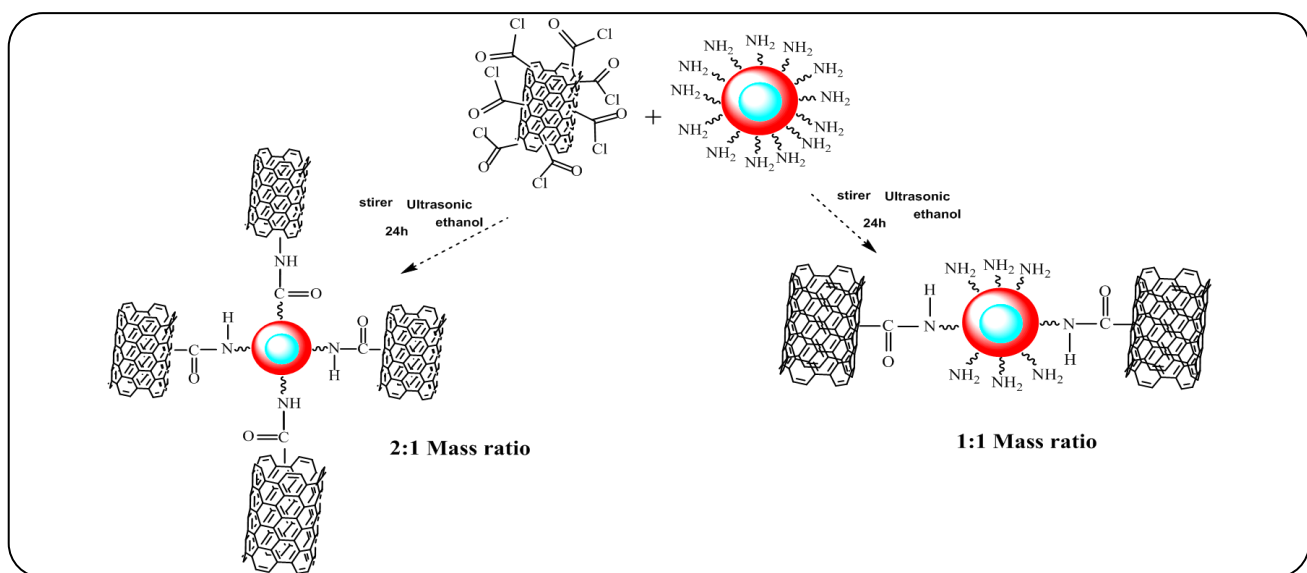
با استفاده از روش هم‌رسوبی سنتز شدن [۴۴] فرایند پوشش توسط معلق کردن نانوذره‌های مغناطیسی در محلول آتانول-آب و مخلوط کردن TEOS برای تشکیل یک پوسته سیلیکایی انجام شد [۴۵]. سیلیس آمورف (SiO<sub>2</sub>) شاید جالب ترین هسته معدنی است، زیرا می‌توان آن را با اندازه‌های متناسب، توزیع اندازه و شکل مناسب سنتز کرد [۴۶]. افزون بر این، شیمی سطح سیلیکا به خوبی فراهم شده و نانوذره‌های سیلیکایی پوشش داده شده را می‌توان به سادگی کاربردی کرد و امکان استفاده از آن‌ها را در تعداد زیادی از برنامه‌های کاربردی به وجود آورد [۴۷-۴۹]. در این مطالعه، برای جلوگیری از اکسایش و افزایش گروه‌های عاملی OH بر روی سطح نانوذره‌ها از (TEOS) استفاده شد. همچنین با استفاده از ۳-آمینوپروپیل تری متوكسی سیلان سطح نانوذره‌ها برای واکنش‌های بعدی و ایجاد اتصال، آمین دار شدند. HNO<sub>3</sub> نانولوله‌های کربنی چند دیواره خام با استفاده از Cl<sup>-</sup> کربوکسیل دار شدند. با توجه به ویژگی ترک کنندگی بالای در ادامه، نانولوله‌های کربنی چند دیواره کربوکسیل دار برای اتصال به نانوذره‌های مغناطیسی با استفاده از تیونیل کلرید آسیل دار شدند. (شما ۲) در سنتز یک به یک همه‌ی نانولوله‌های کربنی و نانوذره‌های منگنز فریت با یکدیگر اتصال برقرار کرددند به همین جهت برای افزایش کارایی این کاتالیست با استفاده از دو برابر کردن مقدار نانولوله‌های کربنی این واکنش را انجام دادیم که در این مرحله نیز اتصال مواد با یکدیگر به طور کامل انجام شد. (شما ۳) ویژگی‌های شیمیابی و فیزیکی نانوذره‌های مغناطیسی و نانولوله‌های کربنی به طور کامل با استفاده از روش‌های شناسایی مانند طیف فروسرخ (FT-IR)، پراش پرتو ایکس (XRD)، میکروسکوپ الکترونی روبشی (SEM)، مغناطیس سنج نمونه مرتعش (VSM)، میکروسکوپ الکترونی عبوری (TEM) و طیف رامان (RAMAN) بررسی شد.

### بورسی ویژگی‌های نانوذره‌های سنتز شده

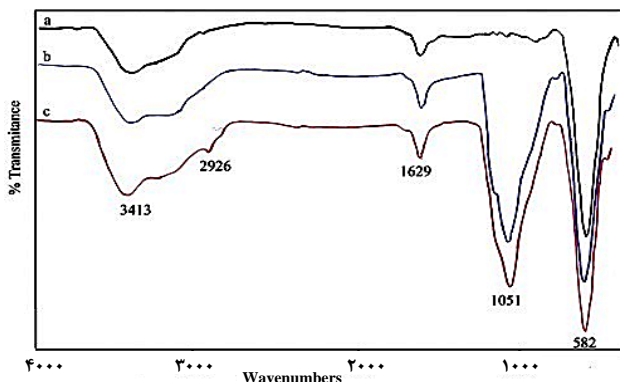
اندازه و ریخت‌شناسی نانوذره‌های مغناطیسی منگنز فریت تهیه شده توسط میکروسکوپ الکترونی روبشی (SEM) تعیین شد. همان‌گونه که در شکل ۱ دیده می‌شود نانوذره‌های فریت منگنز تهیه شده به طور کامل یکنواخت و کروی هستند. همچنین سنتز نانوذره‌های منگنز فریت با نانولوله‌های کربنی چند دیواره در شکل ۲ دیده می‌شود. همان‌گونه که مشخص است ساختار نانولوله‌ها به طور کامل یکنواخت و با اندازه ۱۵ نانومتر می‌باشد که اتصال موقتی آمیز نانوذره‌های فریت منگنز به نانولوله‌های کربنی را نشان می‌دهد.

شماي ۱-آماده سازی  $\text{MnFe}_2\text{O}_4@\text{SiO}_2@\text{NH}_2$ 

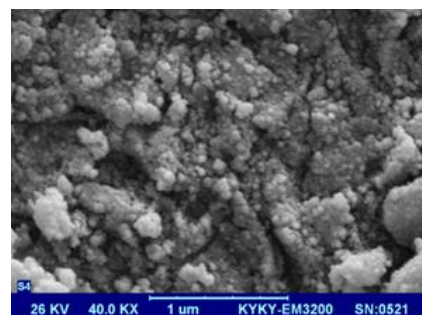
شماي ۲-آسیل دار کردن نانولوله های کربنی چند دیواره.



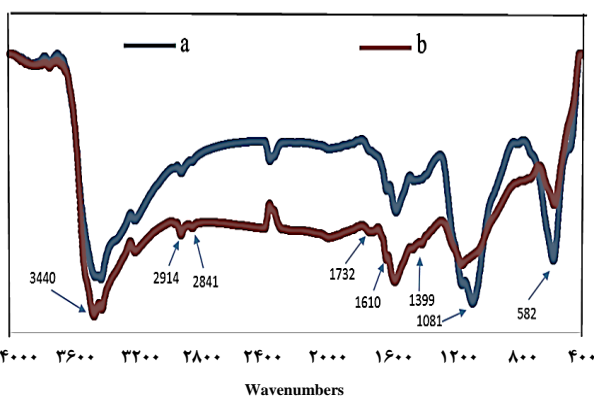
شماي ۳-ستز نانوذره های منگنز فریت عامل دار شده با نانولوله های کربنی چند دیواره با نسبت ۱:۱ (سمت راست) و با نسبت ۱:۲ (سمت چپ)



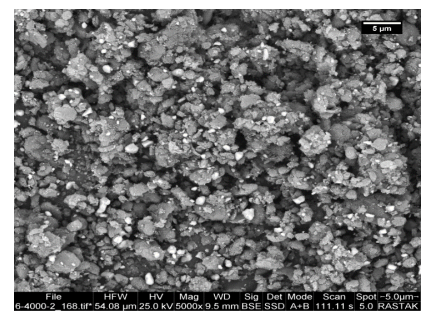
شکل ۳- مقایسه طیف FT-IR از MnFe<sub>2</sub>O<sub>4</sub> : (a) و MnFe<sub>2</sub>O<sub>4</sub>@SiO<sub>2</sub>@NH<sub>2</sub> : (c) و MnFe<sub>2</sub>O<sub>4</sub>@SiO<sub>2</sub> : (b)



شکل ۱- تصویر SEM نانوذرهای مغناطیسی MnFe<sub>2</sub>O<sub>4</sub>



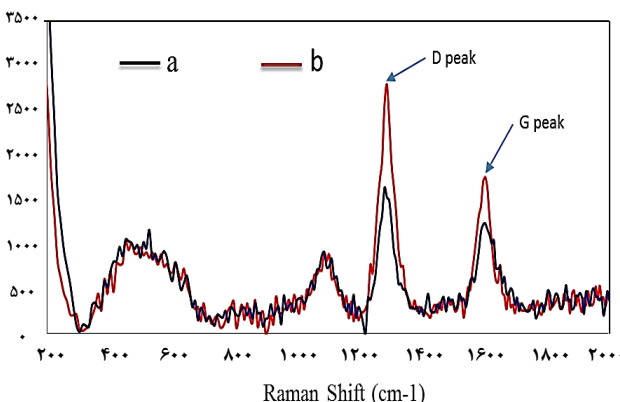
شکل ۴- طیف FT-IR سترن ۱:۱ (a) و ۱:۲ (b) نانوذرهای مغناطیسی با نانولوله‌های کربنی عامل دار شده.



شکل ۲- تصویر SEM نانوذرهای MnFe<sub>2</sub>O<sub>4</sub>@MWCNTs

در شکل ۵-a با توجه به این که نانولوله‌های کربنی و منگنز فریت با نسبت وزنی یک به یک با یکدیگر سترن شده‌اند می‌توان به روشنی دید طیف‌های مربوط به این نمونه دارای شدت کمتری نسبت به شکل ۵-b هستند. دلیل این موضوع سترن این مواد با نسبت وزنی یک به یک است. در شکل ۵-b به وضوح مشخص است که با افزایش مقدار نانولوله کربنی نسبت به فریت منگنز، شدت پیک‌های مربوط به نانولوله‌های کربنی چند دیواره بیشتر شده است که نشان دهنده این است که در این حالت و با افزودن نسبت وزنی یک به دو نانولوله‌های کربنی نسبت به فریت منگنز توانسته این مقدار نانولوله‌ی کربنی چند دیواره را با موفقیت در این ماده افزایش دهیم.

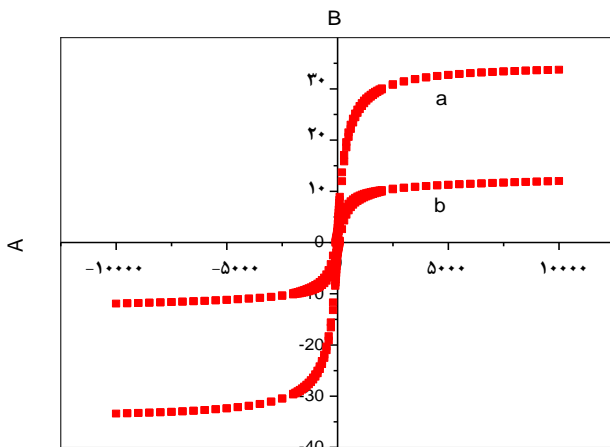
در مواد فرومغناطیسی وقتی اندازه‌ی ذره از یک حوزه مغناطیسی منفرد کوچکتر شود، پدیده‌ی ابرپارامغناطیس (متصل نشدن ذره‌های مغناطیسی در ابعاد نانو در شرایط عادی و حساسیت بالای آنها به میدان مغناطیسی)، به وقوع می‌پوندد. چون نانوذره‌ها نیاز به نیروی زیادی برای مغناطیسی شدن ندارند، خیلی از حالت طبیعی فاصله نمی‌گیرند و پس از مغناطیسی شدن تمایل چندانی برای از دست دادن ویژگی مغناطیسی و بازگشت به وضعیت اولیه را ندارند. رفتار سوپرپارامغناطیس در هر دو نمونه، با نسبت‌های وزنی یک به یک (a) و یک به دو (b) دیده شد که مغناطش اشباع آنها به ترتیب برابر با ۳۵ و ۱۲ بودند. معادله‌ی (۱) میزان وادرنگی (H<sub>c</sub>) را بیان می‌کند.



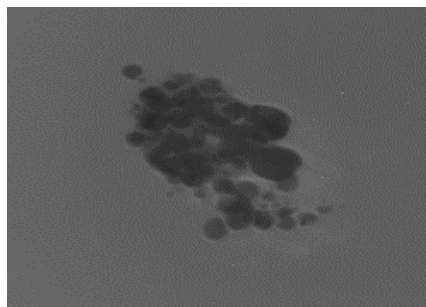
شکل ۵- طیف رامان مربوط به سترن یک به یک (a) و سترن یک به دو (b).

اگر ذره‌ها خیلی کوچک باشند، با استفاده از معادله (۱) می‌توان مقدار وادرنگی را پیش‌بینی کرد:

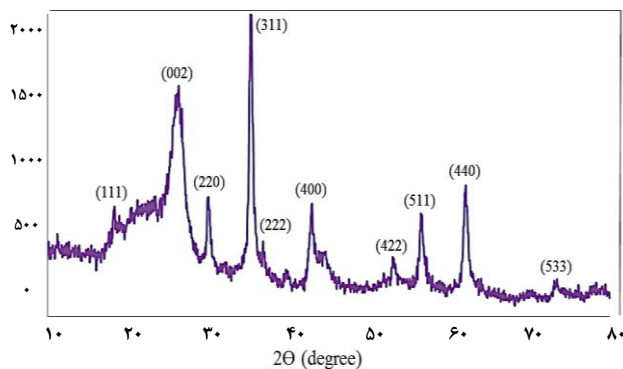
$$H_c = P_2 \frac{K^{4d^6}}{J_s A} \quad (1)$$



شکل ۶- طیف VSM سنتز نانوذردهای مغناطیسی با نانولوله های کربنی با نسبت یک به یک (a) و یک به دو (b)



شکل ۷- تصویر میکروسکوپ الکترونی عبوری (TEM) نانوذردهای مغناطیسی فریت منگنز.



شکل ۸- طیف XRD نانوذردهای MnFe2O4@MWCNTs

و شناسایی شد، از جاذبهای یادشده می‌توان به منظور حذف فلزهای سنگین و برخی آلاینده‌های آلی از آب، تصفیه پساب، گوگرد زدایی و حذف آسفالتین از نفت خام و بسیاری از موارد دیگر استفاده نمود. بررسی کارآیی این نانوکامپوزیت‌ها در برخی از مورددهای گفته شده،

که در آن K ثابت ناهمسانگردی مؤثر، A سفتی تبادلی، J چگالی انرژی تبادلی، d اندازه ذره‌ها، P<sub>2</sub> یک فاکتور ثابت و H<sub>c</sub> وادراندگی است. پس در این معادله چون وادراندگی با اندازه ذره‌ها رابطه مستقیم دارد، در نتیجه اگر ذره‌ها خیلی کوچک باشند، با افزایش اندازه ذره‌ها میزان وادراندگی افزایش می‌یابد.

در مرحله سنتز با نسبت وزنی یک به دو هنوز هم نانوذردها ویژگی مغناطیسی خود را حفظ کرده اند که این می‌تواند نتیجه‌ی بسیار مناسبی باشد. دلیل کاهش ویژگی مغناطیسی نانوذردها در نسبت وزنی یک به دو، مقدار بیشتر نانولوله‌های کربنی می‌باشد. با توجه به این که نانولوله‌های کربنی ویژگی مغناطیسی ندارند، ویژگی مغناطیسی نانوذردها در مرحله دوم با کاهش روپوش شده است.

همان‌گونه که در شکل ۹ نشان داده شده است بررسی تصویر میکروسکوپ الکترونی عبوری(TEM) از نانوذردهای مغناطیسی منگنز فریت تهیه شده، اندازه ذره‌ها را بین ۳۰-۳۵ نانومتر با ساختار یکنواخت کروی نشان می‌دهد.

به منظور بررسی نوع ساختار و پی‌بردن به نوع شبکه‌ی بلوری و همچنین اندازه‌ی نانوذردهای تهیه شده از آنالیز پراش پرتو ایکس (XRD) استفاده شد. شکل ۲ الگوی پراش پرتو ایکس نانوذردهای MnFe2O4@MWCNTs را نشان می‌دهد. در این الگو قله‌ی پراش در زوایای ۱۸، ۱۲°، ۲۹، ۷۹°، ۳۵، ۰۸°، ۴۲، ۶۷°، ۳۳، ۰۵°، ۵۲، ۷۵°، ۵۶، ۳۳°، ۶۱، ۷۱°، ۷۲، ۸۸° که به ترتیب مربوط به (111)، (220)، (311)، (400)، (222)، (511)، (440)، (422)، (533) دیده می‌شوند که متناظر با صفحه‌های بلوری نشان داده در شکل می‌باشند. همچنین پیک اضافه دیده شده در زاویه ۲۶° (۰۰۲) کربن گرافیت می‌باشد که مربوط به ساختار هگزاکوئال گرافیت می‌باشد. در نتیجه، تجزیه و تحلیل طیف XRD نشان داد که نانوکامپوزیت MnFe2O4@MWCNTs پرتو ایکس منگنز فریت منطبق با الگوی مرجع خود با کد شناسایی (JCPDS file, No. 10-0319) می‌باشد.

## نتیجه گیری

در این پژوهش نانوذردهای مغناطیسی منگنز فریت با نانولوله‌های کربنی چند دیواره عامل دار شده سنتز شد. به منظور بالا بردن بیشینه کارایی با حفظ ویژگی مغناطیسی، دو نسبت متفاوت بررسی شد و نوع یک به دو، در مقایسه با نسبت یک به یک، ویژگی‌های کامل تری را از خود نشان داد. در ادامه، با توجه به جذب بالای نانولوله‌های کربنی، بهدلیل سطح بالای تماس، کاربردهای این نانوکامپوزیت‌ها بررسی

تاریخ دریافت: ۱۳۹۸/۰۵/۳۰

موضوع پژوهش‌های آینده این تیم است که دستاوردهای آن در قالب مقاله‌های علمی و پژوهشی منتشر خواهد شد.

تاریخ پذیرش: ۱۳۹۸/۰۸/۱۳

## مراجع

- [1] Dyal A., Loos K., Noto M., Chang S.W., Spagnoli C., Shafi K.V., Gross R.A., **Activity of Candida Rugosa Lipase Immobilized on  $\gamma$ -Fe<sub>2</sub>O<sub>3</sub> Magnetic Nanoparticles**, *J. Am. Chem. Soc.*, **125**(7): 1684-1685 (2003).
- [2] Ma W.F., Zhang Y., Li L.L., You L.J., Zhang P., Zhang Y.T., Wang C.C., **Tailor-Made Magnetic Fe<sub>3</sub>O<sub>4</sub>@mTiO<sub>2</sub> Microspheres with a Tunable Mesoporous Anatase Shell for Highly Selective and Effective Enrichment of Phosphopeptides**, *ACS Nano.*, **6**(4): 3179-3188 (2012).
- [3] Valenzuela R., "Magnetic Ceramics", Cambridge University Press. (2005)
- [4] Lin Y.S., Haynes C.L., **Synthesis and Characterization of Biocompatible and Size-Tunable Multifunctional Porous Silica Nanoparticles**, *Chem. Mater.*, **21**(17): 3979-86 (2009).
- [5] Corma A., Garcia H., **Silica-Bound Homogenous Catalysts as Recoverable and Reusable Catalysts in Organic Synthesis**, *Adv. Synth. Catal.*, **348**(12-13): 1391-412 (2006)
- [6] Widgren J.A., Finke R.G., **A Review of The Problem of Distinguishing True Homogeneous Catalysis From Soluble or other Metal-Particle Heterogeneous Catalysis Under Reducing Conditions**, *J. Mol. Catal. A: Chem.*, **198**(1-2): 317-41 (2003).
- [7] Sharma R.K, Rawat D., **Silica Immobilized Nickel Complex: an Efficient and Reusable Catalyst for Microwave-Assisted One-Pot Synthesis of Di-Hydropyrimidinones**, *Inorg. Chem. Commun.*, **17**: 58-63 (2012).
- [8] Hlatky G.G., **Heterogeneous single-site catalysts for olefin polymerization**, *Chem. Rev.*, **100**(4): 1347-76 (2000).
- [9] Wei S., Ma Z., Wang P., Dong Z., Ma J., **Anchoring of Palladium (II) in Functionalized SBA-16: An Efficient Heterogeneous Catalyst for Suzuki Coupling Reaction**, *J. Mol. Catal. A: Chem.*, **370**: 175-181 (2013).
- [10] Niyogi S., Hamon M.A., Hu H., Zhao B., Bhowmik P., Sen R., Itkis M.E., Haddon R.C., **Chemistry of Single-Walled Carbon Nanotubes**, *Acc. Chem. Res.*, **35**(12): 1105-1113 (2002).
- [12] Gupta A.K., Gupta M., **Synthesis and Surface Engineering of Iron Oxide Nanoparticles for Biomedical Applications**, *Biomaterials*, **26**(18): 3995-4021 (2005).
- [13] Ramaswamy B., Kulkarni S.D., Villar P.S., Smith R.S., Eberly C., Araneda R.C., Depireux D.A., Shapiro B., **Movement Of Magnetic Nanoparticles In Brain Tissue: Mechanisms And Impact on Normal Neuronal Function**, *Nanomedicine: Nanotechnology, Biology and Medicine*, **11**(7): 1821-1829 (2015).
- [14] He L., Wang M., Ge J., Yin Y., **Magnetic Assembly Route to Colloidal Responsive Photonic Nanostructures**, *Acc. Chem. Res.*, **45**(9): 1431-1440 (2012).

- [15] Kavre I., Kostevc G., Kralj S., Vilfan A., Babič D., **Fabrication of Magneto-Responsive Microgears Based on Magnetic Nanoparticle Embedded PDMS**, *RSC Adv*, **4(72)**:38316-38322 (2014).
- [16] Mornet S., Vasseur S., Grasset F., Veverka P., Goglio G., Demourgues A., Portier J., Pollert E., Duguet E., **Magnetic Nanoparticle Design for Medical Applications**, *Prog. Solid State Chem*, **34(2-4)**: 237-247 (2006).
- [17] Gleich B., Weizenecker J., **Tomographic Imaging Using the Nonlinear Response of Magnetic Particles**, *Nature*, **435(7046)**: 1214 (2005).
- [18] Hyeon T., **Chemical Synthesis of Magnetic Nanoparticles**, *Chem. Commun.*, **8**: 927-934 (2003).
- [19] Frey N., Sun S., **Magnetic Nanoparticle for Information Storage Applications**, *Chem. Soc. Rev.*, **38**: 2532-2542 (2009).
- [20] Elliott D.W., Zhang W.X., **Field Assessment of Nanoscale Bimetallic Particles for Groundwater Treatment**, *Environ. Sci. Technol.*, **35(24)**: 4922-4926 (2001).
- [21] Philip J., Shima P.D., Raj B., **Nanofluid with Tunable Thermal Properties**, *Appl. Phys. Lett.*, **92(4)**: 043108 (2008).
- [22] Philip J., Jaykumar T., Kalyanasundaram P., Raj B., **A Tunable Optical Filter**, *Meas. Sci. Technol.*, **14(8)**: 1289-1294 (2003).
- [23] Mahendran V., Philip J., **Nanofluid Based Optical Sensor for Rapid Visual Inspection of Defects In Ferromagnetic Materials**, *Appl. Phys. Lett.*, **100(7)**: 073104 (2012).
- [24] Philip M.V., Felicia L.J., **A simple, In-Expensive and Ultrasensitive Magnetic Nanofluid Based Sensor for Detection of Cations, Ethanol and Ammonia**, *Journal of Nanofluids*, **2**: 112–119 (2013).
- [25] Ball P., **The Perfect Nanotube**, *Nature*, **382(6588)**: 207-208 (1996).
- [26] Wong E.W., Sheehan P.E., Lieber C.M., **Nanobeam Mechanics: Elasticity, Strength, and Toughness of Nanorods and Nanotubes**, *Science*, **277(5334)**: 1971-1975 (1997).
- [27] Salvetat J.P., Bonard J.M., Thomson N.H., Kulik A.J., Forro L., Benoit W., Zuppiroli L., **Mechanical Properties of Carbon Nanotubes**, *Appl Phys A*, **69(3)**: 255-260 (1999).
- [28] Ajayan P.M., **Nanotubes from Carbon**, *Chem. Reviews*, **99(7)**: 1787-1800 (1999).
- [29] Iijima S., **Helical Microtubules of Graphitic Carbon**, *Nature*, **354(6348)**:56 (1991).
- [30] Ebbesen T.W., Lezec H.J., Hiura H., Bennett J.W., Ghaemi H.F., Thio T., **Electrical conductivity of Individual Carbon Nanotubes**, *Nature*, **382(6586)**: 54 (1996).
- [31] Thai N., Yeh M., Liu J., **Enhancement of the Mechanical Properties of Carbon Nanotube/Phenolic Composites Using a Carbon Nanotube Network as the Reinforcement**, *Carbon*, **42**:12-13 (2004).
- [32] Gan Z.H., Zhao Q., Gu Z.N., Zhuang Q.K., **Electrochemical Studies of Single-Wall Carbon Nanotubes as Nanometer-Sized Activators in Enzyme-Catalyzed Reaction**, *Anal Chim Acta*, **511(2)**: 239-247 (2004).

- [33] Baughman RH, Zakhidov AA, De Heer WA. Carbon Nanotubes--the Route Toward Applications, *Science*, **297(5582)**: 787-792 (2002).
- [34] Dillon A., Jones K.M., Bekkedahl T.A., Kiang C.H., Bethune D.S., Heben M.J., Storage of Hydrogen in Single-Walled Carbon Nanotubes, *Nature*, **386(6623)**:377 (1997).
- [35] Van S. E., Prinsloo F.F., Comparison of Preparation Methods for Carbon Nanotubes Supported Iron Fischer-Tropsch Catalysts, *Catal Today*, **71(3-4)**: 327-334 (2002).
- [36] Salavati-Niasari M., Esmaeili E., Seyghalkar H., Bazarganipour M., Cobalt (II) Schiff Base Complex on Multi-Wall Carbon Nanotubes (MWNTs) by Covalently Grafted Method: Synthesis, Characterization and Liquid Phase Epoxidation of Cyclohexene by Air, *Inorg Chim Acta*, **375(1)**: 11-19 (2011).
- [37] Penza M., Antolini F., Antisari M.V., Carbon Nanotubes as SAW Chemical Sensors Materials, *Sens actuators B: Chem.*, **100(1-2)**: 47-59 (2004).
- [38] Choi G.S., Son K.H., Kim D.J., Fabrication of High Performance Carbon Nanotube Field Emitters, *Microelectronic Engineering*, **66(1-4)**: 206-212 (2003).
- [39] Chen L., Xie H., Yu W., Functionalization Methods of Carbon Nanotubes and Its Applications, *Carbon Nanotubes Applications on Electron Devices*, p.213 (2011)
- [40] Datsyuk V., Kalyva M., Papagelis K., Parthenios J., Tasis D., Siokou A., Kallitsis I., Galiotis C., Chemical Oxidation of Multiwalled Carbon Nanotubes, *Carbon*, **46(6)**:833-840 (2008).
- [41] Fu K., Huang W., Lin Y., Riddle L.A., Carroll D.L., Sun Y.P., Defunctionalization of Functionalized Carbon Nanotubes, *Nano Letters*, **1(8)**: 439-441 (2001).
- [42] Rashid Z., Naeimi H., Zarnani A.H., Nazari, M., Nejadmoğaddam M.R., Ghahremanzadeh R., Fast and Highly Efficient Purification of 6×Histidine-Tagged Recombinant Proteins by Ni-Decorated  $\text{MnFe}_2\text{O}_4@\text{SiO}_2@\text{NH}_2@2\text{AB}$  as a Novel and Efficient Affinity Adsorbent Magnetic Nanoparticles, *RSC Adv.*, **6(43)**: 36840-36848 (2016).
- [43] Javidparvar A.A., Ramezanladeh B., Ghasemi E., The Effect of Surface Morphology and Treatment of  $\text{Fe}_3\text{O}_4$  Nanoparticles on the Corrosion Resistance of Epoxy Coating, *J. Taiwan Inst. Chem. E*, **61**: 356-366 (2016).
- [44] Aijun H., Juanjuan L., Mingquan Y., Yan L., Xinhua P., Preparation of Nano- $\text{MnFe}_2\text{O}_4$  and Its Catalytic Performance of Thermal Decomposition of Ammonium Perchlorate, *Chinese J. Chem. Eng.*, **19(6)**: 1047-1051 (2011).
- [45] Sahoo B., Sahu S.K., Nayak S., Dhara D., Pramanik P., Fabrication of Magnetic Mesoporous Manganese Ferrite Nanocomposites as Efficient Catalyst for Degradation of Dye Pollutants, *Catal Sci Technology*, **2(7)**:1367-1374 (2012).
- [46] Stöber W., Fink A., Bohn E., Controlled Growth of Monodisperse Silica Spheres in the Micron Size Range, *J. Colloid Interface Sci.*, **26(1)**:6 2-69 (1968).
- [47] Qhobosheane M., Santra S., Zhang P., Tan W., Biochemically Functionalized Silica Nanoparticles, *Analyst*, **126(8)**: 1274-1278 (2001).

- [48] Butterworth M.D., Illum L., Davis S.S., Preparation of Ultrafine Silica-and PEG-Coated Magnetite Particles, *Colloid Surface A.: Physicochemical and Engineering Aspects*, **179(1)**: 93-102 (2001).
- [49] Santra S., Tapec R., Theodoropoulou N., Dobson J., Hebard A., Tan W., Synthesis and Characterization of Silica-Coated Iron Oxide Nanoparticles In Microemulsion: The Effect of Nonionic Surfactants, *Langmuir*, **17(10)**: 2900-2906 (2001).
- [50] Rattanaburi P., Khumraksa B., Pattarawaranaporn M., Synthesis and Applications of  $\text{Fe}_3\text{O}_4$ -diisopropylaminoacetamide as a Versatile and Reusable Magnetic Nanoparticle Supported N, N-diisopropylethylamine Equivalent, *Tetrahedron Lett*, **53(22)**: 2689-2693 (2012).
- [51] Masteri-Farahani M., Tayyebi N., A New Magnetically Recoverable Nanocatalyst for Epoxidation of Olefins, *J. Mol. Catal. A-Chem.*, **348(1-2)**:83-7 (2011).